

**الخصائص المورفومترية لأحواض وشبكات التصريف
دراسة مقارنة لمصادر وطرق اشتقاق البيانات المورفومترية**

إعداد

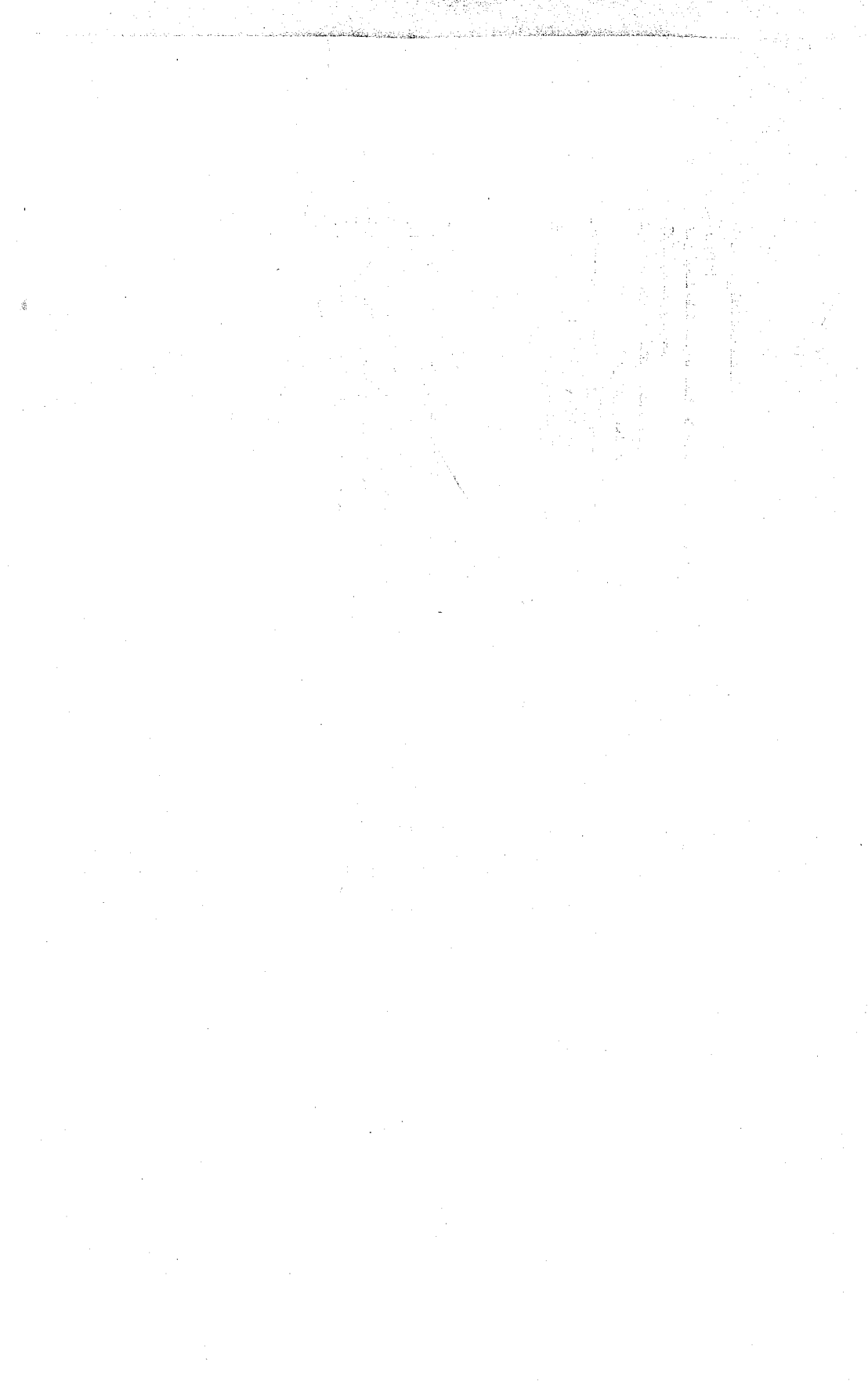
د/ أحمد زايد

مدرس الجغرافيا الطبيعية

كلية الآداب - جامعة اسيوط

د/ نضال سفيان

مدرس مساعد، كلية الآداب، جامعة تعز



مقدمة:

تعد الخصائص المورفومترية لأحواض وشبكات التصريف من الخصائص المهمة في فهم الخصائص والتطور الجيومورفولوجي، ومعرفة أي مرحلة من مراحل التعرية تمر بها هذه الأحواض، فضلاً عن دورها في إمكانية تحديد درجات خطورة تلك الأحواض في حالة الجريان المائي بها، وإعادة التأهيل البيئي لها (عبد المحسن العمري، ٢٠١١، ص ٤٠٦)، وارتباط ذلك بمجالات تنمية المصادر المائية ومشروعات التنمية الزراعية والرعية (على عبد عباس العزاوي، ٢٠٠٩، ص ٩٧). هذا بالإضافة إلى ارتباط كافة الخصائص الهيدرولوجية والميزانية المائية بقيمة المعاملات المورفومترية (أحمد زايد، ٢٠١٤، ص ص ٥٦٧-٥٧٥).

وقد حلت وسائل التحليل المورفومتري محل وسائل وأساليب الوصف التقليدية خاصة فيما يخص تحليل شبكات التصريف النهرية والأحواض النهرية (محمد صبرى محسوب، ١٩٩٧، ص ٢٠٢)، كما تسهم البيانات المورفومترية في بناء قاعدة بيانات تمكن من التعرف على الخصائص المورفومترية للحوض، وخصائص شبكات التصريف كما يمكن من خلالها عمل العلاقة الارتباطية بين متغيرات الحوض والشبكة، وتساعد على فهم العوامل الطبيعية المؤثرة في نشأتها (عبدالمجيد أحمد مداغش، ٢٠١٠، ص ٣٥٦).

ونظراً لأهمية الخصائص المورفومترية لأحواض وشبكات التصريف في فهم أوضح لمرحلة التعرية النهرية؛ فإن التدقيق في جودة المصادر التي يشتق منها هذه الخصائص أيضاً من الثوابت المهمة، التي تسعى هذه الدراسة إلى التثبت منها، والكشف عن الاختلافات وأوجه الشبه بين المصادر المختلفة لاشتقاق البيانات والقيم المورفومترية لأحواض وشبكات التصريف، ليس هذا فحسب بل أيضاً الوقوف على

طرق اشتقاق البيانات، ومميزات ومشكلات كل طريقة بهدف تحديد المصدر الأفضل والطريقة الأمثل لإشتقاق البيانات بجودة عالية.

وقد اختلفت الدراسات الجيومورفولوجية المعنية بدراسة أحواض التصريف المائي فيما بينها من حيث مصدر اشتقاق البيانات المورفومترية والتي تراوحت ما بين خرائط طبوغرافية، وصور جوية^(١)، وأخرى فضائية تتمثل في: المرئيات الفضائية، وأنموذج الارتفاع الرقمي. كما اختلفت الدراسات (التي سيتم عرضها) في طريقة اشتقاق البيانات. حيث ذهبت بعض الدراسات إلى استخدام الطريقة اليدوية في اشتقاق البيانات من الخرائط الطبوغرافية مثل: دراسة (محمد معتمد، ٢٠٠٦)، ودراسة (أحمد زايد، ٢٠٠٦)، ودراسة (طاهر عبد الرحيم إبراهيم السباعي، ٢٠٠٦) ودراسة (تامر يوسف عمرو، ٢٠٠١)، وغيرها من الدراسات. اعتمدت دراسات أخرى على التحليل البصري لمرئيات Landsat tm والخرائط الطبوغرافية بشكل ثنائي مثل: دراسة (محمد بن عبدالله الصالح، ١٩٩٩)، وذهبت دراسات ثالثة إلى الاعتماد على الطريقة الآلية باستخدام أنموذج الارتفاع الرقمي DEM باعتباره مصدراً لاشتقاق البيانات مثل: دراسة (simon, et al., 2008)، ودراسة (Qannam, 2003)، ودراسة (سعد سعيد الغامدي، ٢٠٠٦)، ودراسة (حنان الغيلان، بدون تاريخ)، وأخيراً ذهبت بعض الدراسات الأخرى كدراسة (علاء نبيل حمدون، حكمت صبحي، بدون تاريخ) إلى استخدام جميع المصادر سابقة الذكر، وذلك لاشتقاق البيانات المورفومترية الخاصة بشبكة وحوض التصريف.

مشكلة وتساؤلات الدراسة:

تعد الخرائط الطبوغرافية أحد أهم وأقدم مصادر البيانات المورفومترية للظاهرات الجيومورفولوجية المختلفة والتي يتم قياسها منها وحسابها والتي اعتمدت

عليها كثير من الدراسات السابقة في تحليل الخصائص المورفومترية لاسيما الخصائص المورفومترية لأحواض وشبكات التصريف، وذلك باستخدام الطريقة اليدوية في تحرير شبكة التصريف وحدود الحوض، في ضوء التحليل البصرى للخريطة الطبوغرافية، وتشارك معها في ذلك المرئيات الفضائية، وإن كانت تالية لها من حيث زمن استخدامها حيث اعتمدت بعض الدراسات على مصدر أو أكثر من المصدرين السابقين لاشتقاق البيانات المورفومترية، وذلك في ضوء التحليل البصرى لكل من المصدرين، غير أنه بعد توافر إمكانية تطبيق نماذج الارتفاع الرقمية والتي تمكن المكوك الفضائى انديفور من إجراء عمليات المسح الرادارى ضمن مشروعات وكالة الاستخبارات الجيوفضائية الأمريكية عام ٢٠٠٠ (إبراهيم ناجى الشباني، ٢٠٠٧، ص ١٦٧)، فإنه أخذت بعض الدراسات فى الاعتماد على مثل هذه النماذج فى التحليل المورفومتري للظواهر الطبيعية، وبخاصة أحواض وشبكات التصريف بطريقة آلية، وأكدت هذه الدراسات على أهميه نموذج الارتفاع الرقمية^(٧) فى تحديد مناطق التغذية المائية، وتحديد أطوال المجارى بدقة عالية (هالة محمد سعيد، وآخرون، ٢٠١٠، ص ١٨٣).

نظراً لاختلاف الدراسات فيما بينها من حيث الاعتماد على مصادر اشتقاق البيانات المورفومترية لأحواض وشبكات التصريف، واختلاف طرق اشتقاق البيانات بين طرق يدوية وأخرى آلية، فإنه تتجلى بعض التساؤلات المهمة الآتية:

١- هل يمكن الاعتماد على نموذج الارتفاع الرقمية باعتباره بديل للخرائط الطبوغرافية؟

٢- هل يمكن الاعتماد على نموذج الارتفاع الرقمية والثقة بنتائجه بدرجة كبيرة؟

٣- هل يمكن أن تظل الخريطة الطبوغرافية فى صدارة مصادر اشتقاق البيانات المورفومترية للظواهر الجيومورفولوجية من حيث أهميتها ودقتها؟

- ٤- هل البيانات المأخوذة من أنموذج الارتفاع الرقمي تتسم بالدقة؟ أم تقتصر دقتها على فهم تضاريس وانحدارات سطح الأرض؟
- ٥- هل مقاييس الخرائط الطبوغرافية كلها تصلح لرصد الخصائص المورفومترية لأحواض وشبكات التصريف؟
- ٦- ما المشكلات المرتبطة بكل طريقة ومصدر لإشتقاق البيانات؟ وأيها أكثر دقة في إشتقاق البيانات المورفومترية؟

فروض الدراسة:

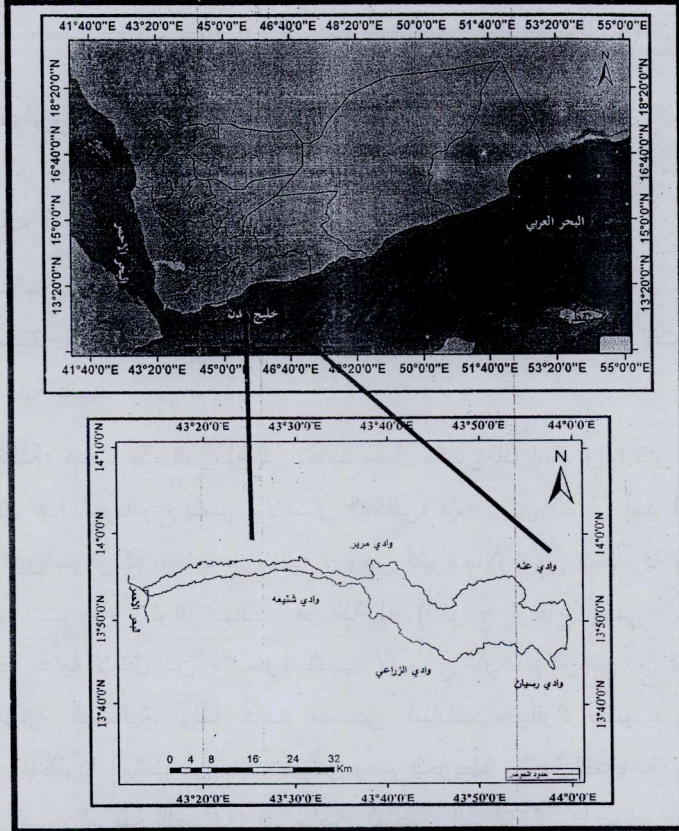
تتبنى الدراسة فرضية مفادها أنه بالرغم من الطفرة التي حققتها المساحة لتصويرية الرقمية وظهور ما يعرف بنماذج الارتفاع الرقمي؛ فإن أهمية هذا الأنموذج تظل قاصرة على فهم أكبر لطبوغرافية سطح الأرض؛ لما يتمتع به من إمكانية إظهار تفاصيل سطح الأرض بصورة ثلاثية الأبعاد، كما يصبح دوره في فهم أبعاد أحواض وشبكات التصريف به جانباً من القصور. وتأتى الخريطة الطبوغرافية بمساعدة المرئيات الفضائية باعتبارها أكثر دقة في اشتقاق البيانات المورفومترية لأحواض شبكات التصريف؛ ومن ثم فإن إتباع الطرق اليدوية في تحرير البيانات المورفومترية يُعد أكثر دقة من اتباع الطرق الآلية في اشتقاق البيانات.

المراحل المنهجية للدراسة: مرت الدراسة الراهنة ببعض المراحل المنهجية في محاولة للكشف عن إجابات لتساؤلات الدراسة، ومن ثم التحقق من الفرضيات والاجابة على التساؤلات التي من شأنها تم إعداد هذه الورقة البحثية، وفيما يلي عرض للمراحل المنهجية التي مرت بها الدراسة:

المرحلة الأولى: مرحلة جمع وتصنيف التراث البحثي الذي كُتب حول الموضوع بطريقة مباشرة وغير مباشرة، وذلك في محاولة لبناء تصور واضح حول ما انتهت إليه الدراسات السابقة في هذا المجال.

المرحلة الثانية: تتمثل في مرحلة الصياغة التصورية للدراسة، وقد حاول الباحثان صياغة المشكلة البحثية وبلورتها في صورتها النهائية، مع وضع تساؤلات تسعى الدراسة لإجابة عليها.

المرحلة الثالثة: هدفت هذه المرحلة إلى تحديد مجال مكاني للدراسة، ولما كان التحديد المكاني لمثل هذا الموضوع يتميز بالانتشار المكاني؛ فإنه يمكن اختيار أحد أحواض التصريف الذي يتوافر له بيانات خرائطية - وهي كثيرة بالأراضي المصرية والبلدان العربية- مع ضرورة توافر بيانات فضائية له (أنموذج ارتفاع رقمي- مرئيات فضائية) بدقة عالية لا تقل عن ٣٠ متراً بالنسبة لأنموذج الارتفاع الرقمي، و ١٤ متراً بالنسبة للمرئية الفضائية. ولما كانت مصادر البيانات متوافرة بصورة مطابقة للمواصفات المطلوبة للبحث من حيث مقياس رسم الخريطة والدقة التمييزية لأنموذج الارتفاع الرقمي والمرئية الفضائية؛ فقد خلص الباحثان إلى اختيار حوض وادي نخلة ليكون مجالاً للدراسة، وهو أحد الأودية التي تقع في المرتفعات الغربية للجمهورية اليمنية شكل (١). وينحدر الحوض بشكل عام من الشرق إلى الغرب لينتهي في سهل تهامة، ويصب في البحر الأحمر. وينحصر حوض الوادي بين دائرتي عرض ٤٤° ١٣' - ٥٧' ١٣' شمالاً، وخطي طول ١٣° ٤٣' - ٤٤° شرقاً، ويشترك الحوض بخط تقسيم المياه مع بعض الأحواض المجاورة له مثل: حوض وادي عنه والمرير في الشمال، وحوض وادي رسيان والزراعي وشنيعا في الجنوب، ويشكلا حوضي وادي عنه ووادي رسيان الحدود الشرقيه.



شكل (١) الموقع الفلكي والجغرافي لحوض وادي نخلة

المرحلة الرابعة: مرحلة اشتقاق البيانات وهي مرحلة مطولة في إعدادها وتطبيقاتها، وانقسمت هذه المرحلة بدورها إلى قسمين: الأول- يخص اشتقاق البيانات المورفومترية من الخرائط الطبوغرافية مقياس ١ : ٥٠٠٠٠ ، والمرئية الفضائية ETM+ بدقة مكانية ٤م لعام ٢٠٠٢ بالاستعانة بحزمة برامج GIS. وقد تم دمج

المصدرين معاً؛ نظراً للتشابه الكبير بينهما في طريقة اشتقاق البيانات في هذه المرحلة، حيث يتم رسم حوض التصريف وشبكاته بطريقة يدوية أولاً يعتمد فيها الباحث على خبرته في طريقة اشتقاق البيانات. ولما كان اشتقاق البيانات من المصدرين يعتمد بشكل أساسي على خبرة وتقدير الباحث، لذا عمد الباحثان إلى محاولة الكشف عن دور اختلاف تقديرات الباحثين في اشتقاق البيانات حيث قام الباحث الأول باشتقاق البيانات من الصورة الفضائية، بينما قام الباحث الثاني باشتقاق البيانات من الخرائط الطبوغرافية.

ويحتاج كل من المصدرين (الخرائط الطبوغرافية- المرئيات الفضائية) إلى بعض الإعدادات قبل إجراء عملية تحرير شبكات التصريف، وتتمثل بالنسبة للخرائط الطبوغرافية في إدخال الخرائط إلى جهاز الحاسب الآلي عبر جهاز الماسح الضوئي، ثم تصحيح اللوحات الطبوغرافية تصحيحاً هندسياً وإسقاطها بأحد المساقط المستخدمة، واستخدمت هذه الدراسة مسقط مركبتور المستعرض العالمي (UTM)، ثم أدمجت جميع اللوحات في لوحة واحدة (Mosaic)؛ لكي يسهل عملية تحرير البيانات وهي ذات المرحلة التالية، حيث تم إجراء تحرير شبكة التصريف عن طريق إنشاء ملفين أحدهما خطي لرسم شبكة التصريف، والآخر مساحي لرسم المساحة الحوضية. في حين تحتاج المرئيات الفضائية بعض المعالجات مثل: التحسين الطيفي (Image Enhancement)، وزيادة الفروق والتباين الطيفي بين الفئات الطيفية، وتعزيز التباين Contrast Enhancement، وتحسين الحواف Edge Enhancement، وتراكيب الألوان الزائفة False Color Composite؛ وذلك بهدف توضيح محتويات المرئية الفضائية، وإبراز معالمها بصورة أوضح حتى يمكن تفسيرها والتعرف بدقة على شبكات أحواض التصريف الفرعية.

أما القسم الثاني فقد هدف إلى اشتقاق البيانات من أنموذج الارتفاعات الرقمية، وهي طريقة يتم فيها اشتقاق البيانات المورفومترية بطريقة آلية، حيث اعتمدت الدراسة على أنموذج ارتفاع رقمي بدقة مكانية قدرها ٣٠ متراً لعام ٢٠٠٠، وتم إجراء المعالجة الأولية لهذا الأنموذج بهدف اشتقاق البيانات المورفومترية، وتتمثل هذه الاجراءات في إضافة أنموذج الارتفاع الرقمي الخاصة بمنطقة الدارسة الى برنامج Arc map وحفظها؛ ليتم العمل عليها.

ولاستخلاص شبكة التصريف تم اتباع الخطوات الآتية:

ملئ الحفر **Fill Sinks**: تتم عملية ملئ الحفر للتخلص من القيم الشاذة، وذلك من أداة الإضافة Arc Hydro 2.0 (يحيى محمود سعيد أبو حصيرة، ٢٠١٣، ص ٤٠).

تحديد اتجاهات الجريان **Flow Direction**: تتلخص هذه الفكرة في أن كل خلية من خلايا أنموذج الارتفاع الرقمي له قيمة منسوب ارتفاع، ويتتبع قيم الارتفاعات للخلايا المجاورة الثمانية لأي خلية Pixel فإنه يمكن تحديد اتجاهات التدفق ومساراته آلياً بحكم أن التدفق يتجه من الخلايا الأعلى منسوباً إلى الخلايا الأقل منسوباً (سعد سعيد الغامدى، ٢٠٠٦، ص ٢٠).

حساب تراكم الجريان **Flow Accumulation**: يتم حساب كمية تراكم الجريان في كل خلية بناء على ما يحيط بها من خلايا تصب المياه فيها، حيث يعتمد هذا الاجراء على اتجاهات الجريان (وسام الدين محمد، ٢٠٠٨، ص ٦٨) كما هو مبين في المراحل السابقة وهي تحديد اتجاهات الجريان.

تحديد قيمة العتبة أو التحسس **Stream Definition**: تمثل قيمة العتبة الحد الأدنى من الدقة في استخلاص ما يمكن أن يكون شبكة تصريف من المسارات التي تحدد آلياً فيما يتعلق باتجاه الجريان وتجمعاته. وليس هناك قيمة ثابتة للعتبة المشار إليها تصلح

لكل حوض مائي؛ لذلك فمن الضروري إجراء كثير من المحاولات التجريبية لمقارنة نتائج هذا الأسلوب مع شبكة مجاورة موثوق بصحتها، كشبكة مجارٍ مستخلصة من صور جوية ذات مقياس رسم كبير (سعد سعيد الغامدي ، ٢٠٠٦ ، ص ٢٠).

تجزئة الجداول Stream Segmentation: يتم فصل خطوط الجريان وتجميع خطوط الجريان المتشابهة في رتبة ذات القيمة الموحدة إلى خطوط جريان مستقلة تأخذ لونها متشابهاً مع بعضها وتكون أطوال هذه الخطوط مقدرّة بالخلية.

استخراج رتب المجارى Stream Order: في هذه الخطوة يتم العمل من صندوق أدوات Arc Toolbox، وذلك بالاستعانة بأدوات التحليل المكاني Spatial Analyst Tools ويتم اختيار أداة التحليل Hydrology ثم الضغط على Stream Order ، ومن خلال هذا الأمر يمكننا الحصول على تصنيف الرتب حسب طريقة كل من (ستريلر 1952 ، Strahler وشريف 1967 ، Shreve)، ولقد تم في هذه الدراسة الاعتماد على طريقة ستريلر فقط.

تحويل شبكة الرتب إلى طبقات خطية وتسمى هذه الأداة باسم Stream to Feature: ويتم في هذه الخطوة تحويل رتب المجارى من شكل خلية تعرف Raster إلى عنصر رقمي Vector لتصبح طبقة خطوط as a layer نحصل من خلالها على عدد وأطوال الرتب بالحوض، ويتم ذلك من أداة spatial analyst tools.

المرحلة الخامسة: مرحلة اشتقاق البيانات المورفومترية الأساسية الأخرى للحوض ولشبكة التصريف مثل: مساحة ومحيط وطول ومتوسط عرض الحوض، فضلاً عن التضرس المطلق، وعدد المجارى وأطوال المجارى، وطول المجرى الأفقي، وذلك في محاولة لاشتقاق البيانات المورفومترية الكاملة مثل : نسبة الاستطالة، والاستدارة، ومعامل الشكل، ومعامل الاندماج والانبعاج.... إلخ.

المرحلة السادسة: المرحلة التحليلية لمجموع البيانات المورفومترية المشتقة من الخرائط الطبوغرافية وأنموذج الارتفاع الرقمي والمرئية الفضائية، إلى جانب الاستعانة بمجموعة الخرائط والأشكال المنتجة؛ لتوضيح وتفسير حجم الاختلافات أو الاتساق فيما بين البيانات المشتقة من المصادر المختلفة، مع عرض للمشكلات المرتبطة بطريقة اشتقاق البيانات.

تتعدد مصادر البيانات التي يتم الاعتماد عليها في اشتقاق البيانات المورفومترية الخاصة بأحواض وشبكات التصريف بين الخرائط الطبوغرافية، وأنموذج الارتفاع الرقمي، والمرئيات الفضائية. وتختلف هذه المصادر فيما بينها في طريقة اشتقاق البيانات المورفومترية منها، وأيضاً درجة دقة البيانات، وحيثما كانت هذه البيانات مختلفة فيما بينها تبعاً لمصدر وطريقة اشتقاقها، فإن ذلك يُعد مدعاة لإجراء البحث حول طرق اشتقاق البيانات المورفومترية، والمشكلات المرتبطة بإشتقاق هذه البيانات، ومحاولة التعرف على أسباب اختلاف دقتها، علاوة على إقتراح لطريقة يمكن اشتقاق البيانات المورفومترية منها؛ لذا يرى الباحثان أن الدراسة يمكن أن تسير على النحو الآتي:

أولاً: المشكلات المرتبطة بطرق اشتقاق البيانات المورفومترية:

تتعدد مصادر وطرق اشتقاق البيانات المورفومترية، إلا أن طرق اشتقاق تلك البيانات تنحصر في طريقتين أساسيتين هما: الطريقة اليدوية والآلية، حيث يتم اتباع الطريقة الأولى مع الخرائط الطبوغرافية والمرئيات الفضائية، بينما تتبع الطريقة الثانية مع أنموذج الارتفاع الرقمي. وسواء تم إتباع أي من الطريقتين؛ فإن الباحث يواجه بعض المشكلات التي ترتبط بالطريقة التي يتبعها في اشتقاق البيانات المورفومترية،

وفيما يلي عرض موجز للمشكلات التي تواجه الباحث سواء في الطريقة اليدوية أو الآلية:

١- توفير الخرائط الطبوغرافية بمقاييس رسم مناسبة والمرئيات الفضائية ونماذج الارتفاع الرقمي بدقة مكانية مرتفعة للمنطقة: حيث تنتج الخرائط الطبوغرافية بمقاييس رسم مختلفة، ومنها: (١: ٢٥٠٠٠٠)، أو (١: ١٠٠٠٠٠٠)، أو (١: ٥٠٠٠٠٠)، أو (١: ٢٥٠٠٠٠)، وتختلف هذه الخرائط تبعاً لمقاييس رسمها في حجم ونوعية البيانات التي توضحها، فضلاً عن عدم توافر بعض الخرائط ذات المقاييس الكبيرة مثل خرائط مقياس (١: ٢٥٠٠٠) إلا لمناطق محدودة من البلدان العربية مثل: السهل الفيضي في الوادي والدلتا بمصر. هذا وتعد الخرائط الطبوغرافية مقياس ١: ٥٠٠٠٠ هي الأكثر شيوعاً واستخداماً؛ نظراً لتوافرها في أغلب البلدان العربية، وتغطيتها جل مساحات الدول العربية.

يعتبر الحصول على مرئية فضائية بدقة مكانية عالية تسمح للباحث أن يحلها بصرياً بصورة ميسرة من الأمور الصعبة؛ لارتفاع التكلفة، حيث إن مثل هذه المرئيات غير متاحة بصورة مجانية على شبكة المعلومات الدولية، ويستعاض عن ذلك بالاعتماد على صور القمر الصناعي Landsat ETM+ التي إعتمدت عليها الدراسة الراهنة، وهو يُعد من أفضل الأقمار الصناعية المتاحة بالرغم من انخفاض دقته المكانية^(٣) والتي تصل إلى ٢٨ متراً، لمقارنة بأقمار صناعية أخرى تصل دقتها المكانية إلى ١٠ أمتار مثل: القمر الصناعي الفرنسي اسبوت Spot، أو ٥ أمتار إلى ٢,٥ متر مثل: القمر الصناعي كويك بيرد QuickBird؛ وذلك لأن الطول الموجي لصور القمر الصناعي لاند سات يُعطي عدداً من حزم ضوئية لا تتوفر في بعض صور الأقمار الأخرى. كما يتمتع القمر الصناعي لاند سات بسجل تاريخي يجعله أفضل خيار إن لم يكن الوحيد،

إلى جانب توافر الصور الفضائية لنفس القمر بصورة مجانية، الأمر الذي تفتقر إليه بقيه الأقمار الصناعية سابقة الذكر، والتي ترتفع تكلفة الحصول على مرئية فضائية ملتقطة بأى منها.

وبالمثل فإذا كانت الدقة المكانية مهمة لاشتقاق البيانات من المرئية الفضائية؛ فهي الأخرى مهمة لأنموذج الارتفاع الرقمي، حيث أن ارتفاع الدقة المكانية^(٦) لأنموذج الارتفاع الرقمي يتحدد على إثره دقة نتائج البيانات المورفومترية المشتقة منه (عاهد ذنون الحمamy، وآخرون، ٢٠١٠، ص ٢).

٢- تستغرق الطريقة اليدوية وقتاً وجهداً كبيرين في تحرير البيانات المورفومترية سواء من الخرائط الطبوغرافية أو المرئيات الفضائية، فهي تستغرق أياماً وفي بعض الحالات أشهراً بحسب المساحة الحوضية لكل وادي. ولتطبيق ذلك على حوض التصريف مجال الدراسة فقد استغرق تحرير شبكة التصريف من الخريطة الطبوغرافية قرابة شهر بينما استغرقت شهرين من المرئية الفضائية بالطريقة اليدوية، وهي فترة كبيرة جداً بالمقارنة بالطريقة الآلية لاشتقاق البيانات المورفومترية التي لا تستغرق إلا بضع ساعات، فضلاً عن الوقت المستغرق في الطبولوجي Topology، حيث تنجم عن الطريقة اليدوية أخطاء أثناء عملية الرسم وذلك كما يتضح من الشكل (٢)، وتتنوع هذه الأخطاء بين حدوث تقاطع لرتبتين من نفس الفئة أو عدم تقابل رتبتين من نفس الفئة؛ مما دفع الباحث للقيام بتنفيذ أمر Topology للوقوف على أخطاء عملية الرسم وإصلاحها؛ الأمر الذي استغرق كثيراً من الوقت والمجهود.

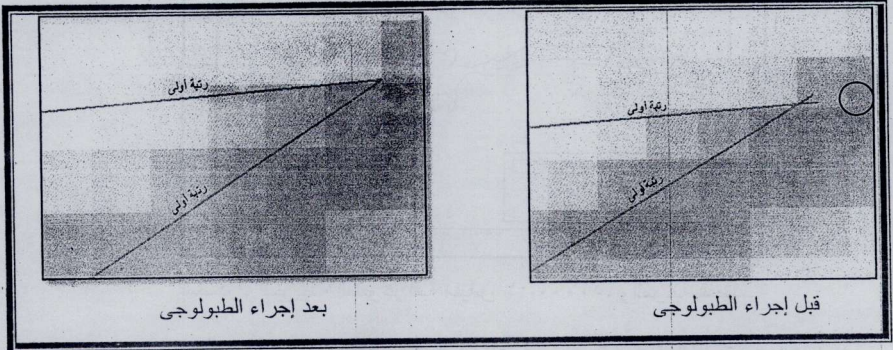
د/أحمد زايد (*)

أ/فضال سفيان (**)

الخصائص المورفومترية لأحواض وشبكات التصريف

دراسة مقارنة لمصادر وطرق اشتقاق البيانات المورفومترية

١٧٦



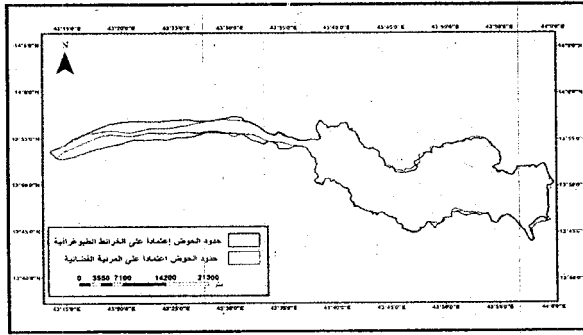
شكل (٢) أتموزج لأخطاء الرسم اليدوى لشبكة التصريف المائى وطريقة معالجتها طبولوجياً

٣- تباين تقديرات الباحثين فى اشتقاق البيانات بطريقة يدوية، حيث كشفت ازدواجية القيام بعملية تحرير البيانات من قبل الباحثين عن ثمة اختلاف فى تقدير بعض الجوانب مثل الحدود الخارجية لحوض التصريف وهو ما يظهر جلياً فى شكل (٣). فقد تطابق جزء من الحدود الخارجية للحوض، بينما لم تتطابق أجزاء أخرى؛ وقد رجع هذا الاختلاف إلى تقديرات كل باحث على حدة. أيضاً ظهرت جوانب الاختلاف فى مجموعة المجارى المائية القريبة من مخرج الوادى حيث قدر أحد الباحثين -الذى اعتمد على الخريطة الطبوغرافية فى اشتقاق البيانات- مجموع المجارى التى تُرشد إلى المجرى الرئيس من اليمين واليسار بالقرب من المصب على أنها روافد ترفد المجرى الرئيس، وذلك كما يتضح من شكل (٤) بينما قدر الآخر أن بعض هذه المجارى روافداً فعلية والبعض الآخر أُعتبرت فروع للوادي، ومن ثم لا يمكن إعتبارها روافد للمجرى؛ وقد يرجع التباين فى تقديرات الباحثين إلى استواء سطح المنطقة القريبة من مخرج الوادي؛ مما نتج عنه عدم ظهور مجارى الأودية نظراً لاستواء السطح، وتعرض المجرى فى نهايتها للطمر بفعل ما تنقله الأودية والرياح من رواسب تطمر الملامح العامة لنهايات تلك الأودية.

الخصائص المورفومترية لأحواض وشبكات التصريف
دراسة مقارنة لمصادر وطرق اشتقاق البيانات المورفومترية

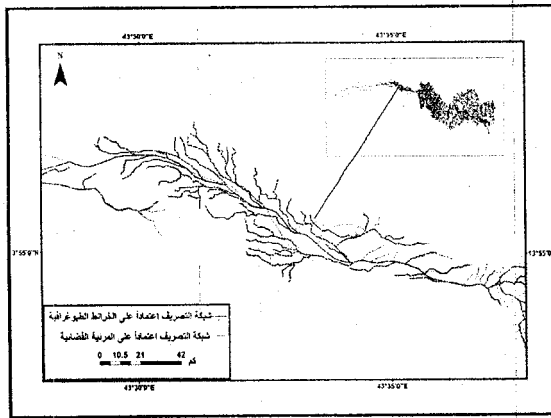
د/أحمد زايد^(*)
أ/نضال سفيان^(**)

١٧٧



المصدر: الخريطة الطبوغرافية مقياس ١ : ٥٠٠٠٠٠، والمرئية الفضائية

شكل (٣) تباين تقديرات الباحثان في رسم محيط الحوض



المصدر: الخريطة الطبوغرافية مقياس ١ : ٥٠٠٠٠٠، والمرئية الفضائية

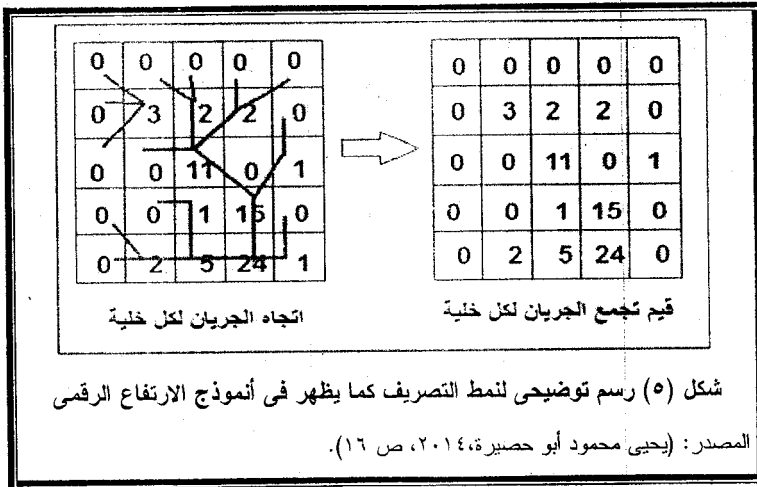
شكل (٤) تباين تقديرات الباحثان في رسم الروافد في المنطقة القريبة من المصب

ولم تقتصر جوانب الاختلاف عند هذا الحد، بل امتدت إلى الاختلاف في أعداد وأطوال رتب المجارى وهى في حقيقتها خصائص مورفومترية؛ وهو ما يعزى إلى

اختلاف مصادر اشتقاق البيانات وطبيعة وخصائص وإجراءات إنتاج^(٥) كل مصدر من هذه المصادر لنجد أن الخريطة الطبوغرافية التي تُعنى بالرسم التفصيلي للمكان، حسب ما يسمح به مقياس الرسم، لذلك فإن أعداد وكثافة ونوعية الظاهرات التي تمثلها تعتمد على مقياس الرسم المستخدم، ولكن تحتفظ الخريطة الطبوغرافية باختلاف مقاييسها بالظاهرات التضاريسية لسطح الأرض التي تمثلها بواسطة خطوط الكنتور، فعلى سبيل المثال الخرائط الطبوغرافية مقياس (١ : ٢٥٠٠٠٠) تظهر عليها الشبكة الرئيسية لأحواض التصريف المائي، بينما تُظهر الخرائط مقياس (١ : ٥٠٠٠٠) جل شبكة التصريف المائي، وبهذا فإنه كلما كُبر مقياس رسم الخريطة ظهرت تفصيلات أكبر على الخريطة بما فيها شبكة التصريف المائي، ويظهر شكل (٦) وجدول (٢) تباين تقديرات الباحثان في تحرير شبكة التصريف من حيث الأعداد والأطول. وقد يقدر الباحث بعض الجوانب أثناء عملية اشتقاق البيانات تقديراً خاطئاً، وذلك كما يتضح من شكل (٦) في الموضوع رقم (١) حيث اختلف الباحثان في تقدير منابع الرتبة الأولى عن طريق التحليل البصري.

٤- عدم تطابق شبكة التصريف المائي التي تُستخرج من نموذج الارتفاع الرقمي من حيث الشكل بأرض الواقع، حيث تظهر شبكة التصريف المائي في شكل خطوط مستقيمة أو منكسرة، شكل (٦) موضع رقم (٣،٤) كما أنها تظهر شبكة التصريف المائي خاصة الرتب الأقل في شكل متوازي تقريباً؛ الأمر الذي قد يفسر خطأً بتعرض المساحة الحوضية الكلية إلى تصدعات ساهمت في اتخاذ شبكة التصريف الشكل المستقيم والمتوازي أحياناً، وهو ذلك الأمر نفسه الذي قد تكون أجزاء من المساحات الحوضية قد تعرضت له، وإن كانت تظهر هذه المشكلة في أي أحواض تصريف مائي أخرى يتم تطبيق الطريقة الآلية في استخراج البيانات المورفومترية بها حتى لو لم

تتأثر بأى تصدعات تسهم فى تحديد أشكال المجارى المائية ونمط التصريف. ويمكن تفسير هذا عن طريق اتخاذ شبكة التصريف المائى - خاصة الرتب الأقل - شكلاً متوازياً أو خطوط منكسرة فى ضوء خصائص أنموذج الارتفاع الرقمية التي تقوم فكرة اشتقاق البيانات المورفومترية لشبكة التصريف المائى وحساب تراكم واتجاه الجريان منه على قيم مناسبة كل خلية من خلايا الأنموذج، حيث تعمل أداة اتجاه الجريان على تحديد اتجاه المياه من خلية إلى خلية مجاورة لها، وذلك بمقارنة منسوب الخلية مع مناسيب الخلايا المجاورة ألياً. في حين تعمل أداة تجميع المياه على حساب عدد الخلايا التي تصرف المياه إلى خلية معينة، وبما أن كل خلية لها مركز يمثل بداية الرتب الأولى أو تمثل مساراً للرتب الأعلى منها؛ لذا تظهر شبكة التصريف بخطوط مستقيمة أو منكسرة، وذلك كما يتضح من الشكل (٥).



٥- عدم وجود قيمة ثابتة لعتبة اشتقاق البيانات بالطريقة الآلية تصلح لكل حوض تصريف: تتباين أعداد وأطوال رتب المجارى عادة؛ وذلك تبعاً لتباين العتبات، حيث

د/أحمد زايد (*)

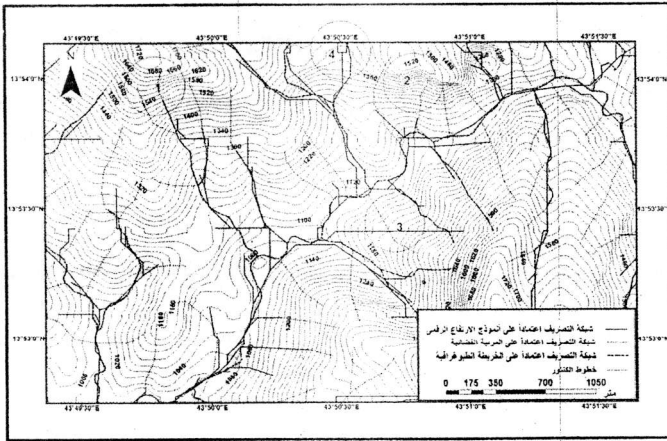
الخصائص المورفومترية لأحواض وشبكات التصريف

أ/فضال سفيان (**)

دراسة مقارنة لمصادر وطرق اشتقاق البيانات المورفومترية

١٨٠

يظهر من الشكل (٧) تباين أعداد المجارى وأطوالها بسبب اختلاف العتبتين المستخدمتين فقد تم استخدام عتبة ١٠٠ فكانت أعداد المجارى ٣١١٥ مجرى، بإجمالي أطوال بلغت ٢٤٧ كم، بينما استخدمت عتبة بقيمة ٥٠٠ فوصلت أعداد المجارى ٦٦٧ مجرى، بإجمالي أطوال لم تزد عن ٦٠٢,٥ كم، وبهذا فإن أعداد وأطوال المجارى تزداد بانخفاض قيمة العتبة، ولم يقتصر تغير العتبة عند ذلك الحد، بل يؤثر في قيمة أعلى رتبة يصل لها الوادي، فنجد أن أعلى رتبة وصلت لها شبكة التصريف بالحوض كانت الرتبة الخامسة وذلك باستخدام عتبة قيمتها ٥٠٠ في حين زادت ووصلت إلى الرتبة



شكل (٧) تباين أعداد وأطوال المجارى المائية تبعاً لاختلاف العتبات

السادسة باستخدام عتبة ذات قيمة ١٠٠.

المصدر: الخريطة الطبوغرافية مقياس ١: ٥٠٠٠٠، وأنموذج الارتفاع الرقمي، والمرئية الفضائية

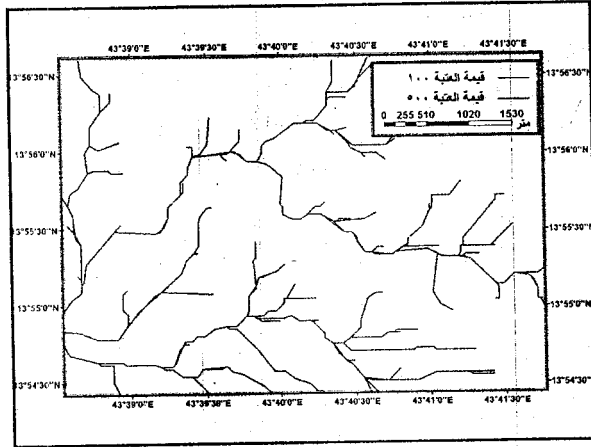
من القمر الصناعي Landsat 7

د/أحمد زايد^(٥)

أ/نضال سفيان^(٥٥)

الخصائص المورفومترية لأحواض وشبكات التصريف
دراسة مقارنة لمصادر وطرق اشتقاق البيانات المورفومترية

١٨١



شكل (٦) مواضع المشكلات المرتبطة باشتقاق البيانات تبعاً لمصدر البيانات

المصدر: نموذج الارتفاع الرقمي

ثانياً: دراسة مقارنة لنتائج طرق اشتقاق البيانات المورفومترية.

على الرغم من تعدد الخصائص المورفومترية لأحواض وشبكات التصريف المائي، والتي اعتمدت عليها جميع الدراسات السابقة في الأدبيات الجغرافية التي تناولت جيومورفولوجية أحواض التصريف المائي؛ فإننا هنا في هذه الدراسة نقتصر على دراسة بعض الخصائص باختلاف مصدر اشتقاقها ومنها: مساحة ومتوسط عرض الحوض، وطول ومحيط الحوض، والتضرس المحلي، وأعداد وأطوال المجارى، وطول المجرى الأفقى باعتبارها معاملات رئيسة في اشتقاق بقية المعاملات المورفومترية الأخرى، لذا فإن أى تغير في قيم هذه المعاملات يحدث تغيراً بالتبعية في بقية المعاملات المورفومترية الأخرى (أحمد زايد، ٢٠١٤، ص ص ٥٦٧-٥٧٠).

أ- الخصائص المورفومترية لأحواض التصريف:

١- مساحة الحوض: شهدت مساحة الحوض باختلاف مصادر اشتقاقها تباينات جوهرية خاصة المساحة الحوضية المشتقة من الخرائط الطبوغرافية من جهة بالمقارنة بالمرئية الفضائية وأنموذج الارتفاع الرقمي من جهة أخرى. بلغت مساحة الحوض قياساً من مصدر الخرائط الطبوغرافية ٣,٢٢٢,٢ كم^٢، بينما قلت إلى ٥٥٧ كم^٢ قياساً من المرئيات الفضائية، في حين بلغت ٣,٥٨٧,٢ كم^٢ قياساً من أنموذج الارتفاع الرقمي، وترجع هذه التباينات الجوهرية بين المصدر الأول (الخرائط الطبوغرافية) والمصدرين الآخرين في الأساس إلى إدخال مساحات كبيرة داخل المساحة الحوضية عند مخرج الوادي، وهي مناطق شبه مستوية لا تجرى بها إلا أعداد قليلة من المجارى وتنتشر بها فروع نهريّة. وقد قدرت البيانات المشتقة من الخرائط الطبوغرافية أنه يمكن أن يتم تضمين كل المساحات التي تجرى فيها الروافد والفروع أيضاً داخل المساحة الحوضية؛ ويرجع تقدير ذلك أساساً إلى أن الخرائط الطبوغرافية لا تفرق من خلالها في نمط المجارى المائية بين الروافد والفروع لذلك قدر الباحث الأول أن هذه المجارى هي عبارة عن روافد مائية، بينما يرى الباحث الثاني أن بعض من هذه المجارى هي روافد وبعضها الآخر فروع، لاسيما وأن المنطقة شبه مستوية وتقع عند مخرج الوادي، كما أن الانحدار العام للمجرى يتجه صوب الغرب، بينما انحدار هذه المجارى -إذا ما اعتبرت روافد- تتجه نحو الشرق والجنوب الشرقي، وهو ما يصعب تحقيقه خاصة في ظل ميل السطح إلى الاستواء.

وبهذا يظهر اختلاف تقديرات الباحثين في اشتقاق البيانات المورفومترية بالطريقة اليدوية؛ غير أنه ثمة تقارب نسبي بين نتائج البيانات المساحية المشتقة من المرئية الفضائية وأنموذج الارتفاع الرقمي، والذي يُعد من أفضل المصادر التي يمكن

الاعتماد عليها في اشتقاق البيانات بالمناطق شبه المستوية، والتي غالباً ما تكون عند مخارج أحواض التصريف.

٢- متوسط عرض الحوض: ثمة تباينات طفيفة في متوسط عرض الحوض تظهر نتيجة اختلاف مصادر اشتقاق البيانات. فقد تراوح متوسط عرض الحوض باختلاف مصادر القياس ما بين ٦،٤٩-٧،٥٨ كم، حيث سُجِّل أدنى متوسط تم اشتقاقه من المرئيات الفضائية، بينما أكبر قيمة سجلت كانت من الخريطة الطبوغرافية، وأخيراً يأتي أنموذج الارتفاع الرقمي ليسجل قيمة وسيطة تقدر بـ ٧،٢٩ كم؛ ويرجع عدم وجود تباينات جوهرية في قيمة متوسط عرض الحوض المقاسة من المصادر المختلفة إلى أن هذه القيمة قيمة متوسطة وليست قيمة مطلقة، هذا من جهة وتفسر الاختلافات في قيمة متوسط عرض الحوض باختلاف مصادر البيانات المقاسة من مصادر متباينة وذلك في ضوء اختلاف تقديرات الباحثين^(١) في اشتقاق البيانات المورفومترية أيضاً.

٣- طول الحوض: تشير بيانات طول الحوض إلى وجود تباينات تراوحت ما بين ٨٢،١-٨٤،٣ كم باختلاف مصادر اشتقاقها، ويُعد هذا المعامل من المعاملات التي يتم اشتقاقها يدوياً باختلاف مصادر اشتقاق البيانات، حيث بلغ ٨٢،١ كم اعتماداً على الخرائط الطبوغرافية، و٨٤،٣ كم اعتماداً على المرئية الفضائية وأنموذج الارتفاع الرقمي.

وبالرغم من عدم وجود اختلافات في المسافة بين أبعد نقطة على محيط الحوض ونقطة المصب، (وهي تلك المسافة التي تُعبر عن معامل طول الحوض)؛ فإن ثمة اختلاف بين تقديرات الباحثين في قيمة طول الحوض. وهذا لا يعني أن أحد الباحثين تقديره صحيحاً مقارنة بالآخر، ولكن نود أن نشير إلى أمرين هما: الأول- أن جميع البيانات المورفومترية التي يتم اشتقاقها يدوياً تتباين باختلاف الباحثين في مجال

الجيومورفولوجيا عامة، والثاني هو أنه على الباحث أن يتحرى الدقة في اشتقاق البيانات يدوياً ويُخضعها للقياس أكثر من مرة حتى تكون دقيقة لأقصى درجة.

٤- محيط الحوض: توجد تباينات كبيرة في قيمة محيط الحوض باختلاف مصدر اشتقاقها، حيث تراوح محيط الحوض ما بين ٢٣٦-٢٧٤،٤ كم باختلاف مصدر البيانات؛ ومرد ذلك أن هذا المعامل يُعد من المعاملات التي يتم اشتقاقها بطريقة آلية من أنموذج الارتفاع الرقمي الذي سجل ٢٧٤،٤ كم باعتباره القيمة الشاذة بالمقارنة بالقيمة المشتقة بطريقة يدوية من الخريطة الطبوغرافية والمرئية الفضائية والتي سجلت ٢٤٤،٨ كم و٢٣٦ كم على الترتيب؛ ويرجع شذوذ قيمة محيط الحوض المشتقة من أنموذج الارتفاع الرقمي إلى طبيعة وخصائص هذا الأنموذج الذي يعتمد في اشتقاق بعض البيانات المورفومترية على طول ومنسوب الخلايا المكونة له لنجد أن محيط الحوض المشتق من أنموذج الارتفاع الرقمي ينطبق مع الحدود الخارجية للخلايا المكونة لخط تقسيم المياه، وبالتالي يظهر في صورة خط منكسر متماشياً مع حدود الخلايا المكونة لأنموذج الارتفاع الرقمي؛ الأمر الذي جعل محيط الحوض أكبر بكثير من قيمته المشتقة بالطريقة اليدوية، والتي تعتمد على تحرير محيط الحوض في خط مستقيم أو شبه مستقيم في نفس الموضع، وذلك كما يتضح من شكل (٨):

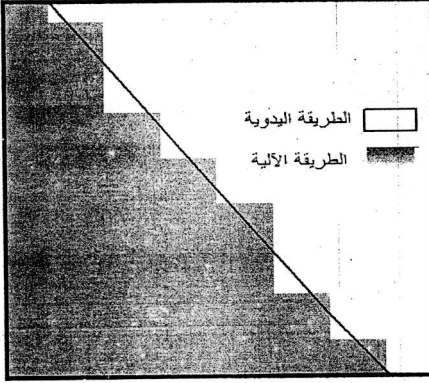
د/أحمد زايد^(٥)

أ/نضال سفيان^(٥٥)

الخصائص المورفومترية لأحواض وشبكات التصريف

دراسة مقارنة لمصادر وطرق اشتقاق البيانات المورفومترية

١٨٥



شكل (٨)

اختلاف شكل محيط الحوض بين
الطريقة اليدوية والآلية

المصدر: أنموذج الارتفاع الرقمي

٥- **التضرس المحلي:** ثمة تباينات طفيفة في قيم التضرس المحلي باختلاف مصادر اشتقاقها؛ إذ تراوحت قيم التضرس المحلي ما بين (٢٦٠٠-٢٠٢٦ متراً)، وتشابه كل من المرئيات الفضائية وأنموذج الارتفاع الرقمي في قيمة التضرس المحلي ليسجلا ٢٦٢٦ متراً؛ ويرجع هذا التشابه بدرجة أساسية إلى اعتبار أن كل من المصدرين من المصادر الفضائية، بينما سجل التضرس المحلي من الخريطة الطبوغرافية قيمة ٢٦٠٠ متر؛ ويعود هذا الاختلاف إلى كون الخريطة الطبوغرافية تظهر مناسيب سطح الأرض بما يتمشى مع مقياس الرسم الذي أنتجت به الخريطة وهو مقياس (١: ٥٠٠٠٠) التي لا تظهر في هذه الحالة تفصيلات مكانية أكثر دقة.

ب- **الخصائص المورفومترية لشبكات التصريف:**

أظهرت نتائج البيانات المورفومترية لشبكة التصريف لوادي نخلة باختلاف مصادر اشتقاقها وجود فروق كبيرة في جل البيانات المورفومترية الخاصة بها، والتي تزيد عن

التيابيات الخاصة بالمعاملات المورفومترية للحوض ويمكن تفسير ذلك في ضوء ما يلي:

- معظم البيانات المورفومترية الخاصة بشبكة التصريف التي يتم اشتقاقها من مصدر أنموذج الارتفاع الرقمي تتم بطريقة آلية، في حين أن معظم البيانات الخاصة بحوض التصريف يتم اشتقاقها من المصدر نفسه بطريقة يدوية بمساعدة الكمبيوتر بعد إجراء التحليلات الآلية لاستخراج البيانات الخاصة بشبكة التصريف؛ لذلك فإن تدخل الباحث - بشرط أن يمتلك من الخبرة ما يؤوله لذلك - في اشتقاق البيانات حتى من أنموذج الارتفاع الرقمي، (والذي يعتمد بشكل أساسي على الطريقة الآلية) يجنب كثير من المشكلات التي ترتبط بالبيانات المورفومترية.

- لا تؤثر الخريطة الطبوغرافية في تباين الأبعاد الشكلية للحوض باعتبار أن الخريطة تمثل مصدراً من مصادر البيانات المورفومترية باختلاف مقاييسها، بينما يؤثر اختلاف مقياس الرسم في البيانات الخاصة بشبكة تصريف الحوض من حيث أعداد ورتب وأطوال المجارى.

- تعد شبكة التصريف المائي من البيانات الثانوية التي تُظهرها الخريطة الطبوغرافية وفقاً لمقياس رسم الخريطة، وحيث أن شبكة التصريف ليست من البيانات الأساسية؛ فإنها عرضة دائماً لأعمال الإزاحة والحذف والتعميم التي تتعرض لها الخريطة الطبوغرافية المنتجة أثناء مراحل إعدادها، وهذا ما تم رصده في المشكلات المرتبطة بطريقة اشتقاق البيانات، وما أكدته الدراسات السابقة حول المشكلات التي يعاني منها إنتاج الخرائط الطبوغرافية.

- لوحظ محدودية تدخلات الباحثين في تقدير المعاملات المورفومترية الخاصة بأحواض التصريف بالمقارنة بزيادة تدخلاتهم في تقدير المعاملات المورفومترية الخاصة بشبكة التصريف سواء تم اتباع الطريقة اليدوية أو الآلية.

١- أعداد المجارى: ثمة تباينات كبيرة في أعداد المجارى باختلاف مصادر اشتقاقها، فقد سجلت المرئيات الفضائية أعداد أكبر للمجارى بلغت ٥١٧٤ مجرى، أي أنها أكثر من خمسة أضعاف ما سجلته الخريطة الطبوغرافية، بينما جاء نموذج الارتفاع الرقمي ليسجل ٣٩٦١ مجرى فقط، علماً بأن قيمة العتبة المستخدمة بلغت ٥٠، في حين احتلت الخريطة الطبوغرافية أدنى المصادر من حيث استخراج أعداد المجارى والتي بلغت ١٠٣٤ مجرى فقط؛ ويرجع التباين الكبير للغاية في أعداد الرتب باختلاف مصادر اشتقاقها إلى أعمال الحذف والتعميم التي تتعرض لها الخريطة الطبوغرافية أثناء إنتاج شبكة التصريف المائي، بالإضافة إلى الدقة المكانية العالية للمرئية الفضائية التي تم الاعتماد عليها في اشتقاق البيانات المورفومترية، والتي مكنت الباحثين من إظهار تفصيلات شبكة التصريف بصورة أقرب ما تكون للواقع. ومما يؤكد ذلك هو تطابق مسارات شبكة التصريف مع تراجعات خطوط الكنتور بالخريطة الطبوغرافية ونموذج الارتفاع الرقمي نحو المناسب الأعلى، حيث أن خطوط الكنتور تعتبر عنصراً أساسياً بالخريطة الطبوغرافية الذي لا تتعرض إلى التعميم أو الحذف أو الإزاحة. أما فيما يخص نموذج الارتفاع الرقمي فإن أعداد المجارى تعتمد في الأساس على قيمة العتبة المستخدمة، وبالتالي يصعب الاعتماد عليها في اشتقاق البيانات الخاصة بشبكة التصريف بدرجة عالية.

٢- مجموع أطوال المجارى: تُعد أطوال المجارى انعكاساً لأعداد المجارى، ومادام أن المرئية الفضائية سجلت أعداد أكبر للمجارى، فإنها أيضاً تُسجل قيماً أكبر لأطوال المجارى، حيث بلغت أطوال المجارى بها ٢،٢٣٨٧ كم، أي ما يزيد على ضعف أطوال المجارى المستخرجة من الخريطة الطبوغرافية تقريباً، والتي سجلت مجموع أطوال مجارى يقدر بـ ١٢٠٣،١ كم، ومرة ونصف قدر أطوال المجارى المستخرجة من أنموذج الارتفاع الرقمي والتي وصلت ١٦٠٨،٢ كم.

٣- رتب المجارى: تم إتباع طريقة استيلر (strahler, 1952) لتصنيف رتب المجارى فى المصادر التى استخدمت فى هذه الدراسة، حيث تساوت رتب المجارى فى كل من الخريطة الطبوغرافية وأنموذج الارتفاع الرقمي، ليصل الوادى عند الرتبة السادسة، بينما ارتفع إلى الرتبة السابعة فى البيانات المشتقة من المرئية الفضائية، ويرجع الاختلاف الأخير (الرتبة السابعة) إلى ارتفاع الدقة المكانيّة للمرئية الفضائية ومن ثم إظهار عدد أكبر للمجارى المائية لم تتمكن الخرائط الطبوغرافية - فى ضوء مقياس رسمها (١: ٥٠٠٠٠) - وأيضاً أنموذج الارتفاع الرقمي - فى ضوء العتبة المستخدمة (٥٠) - من إظهار المجارى الصغيرة.

٤- طول المجرى الأفقى: لم تظهر البيانات الخاصة بطول الحوض فروق جوهرية فى اشتقاقها بالطريقة اليدوية سواء كانت الخريطة الطبوغرافية أو المرئية الفضائية، فقد سجل طول المجرى الأفقى ١٢٣،٩، و ١٢٤،٩ كم بكل من المصدرين على الترتيب وهما قيمتان متقاربتان، فى حين سجل أنموذج الارتفاع الرقمي قيمة أقل من ذلك بشكل واضح، بما يقرب من ٤ كم ليسجل ١٢٠،٣ كم. ويرجع تقارب قيم النتائج المستخرجة لطول المجرى الأفقى فى كلا المصدرين (الخرائط الطبوغرافية والمرئيات الفضائية) إلى إتباع الطريقة اليدوية فى اشتقاق البيانات من كلا المصدرين حيث تسير

د/أحمد زايد (*)

أ/نضال سفيان (**)

الخصائص المورفومترية لأحواض وشبكات التصريف

دراسة مقارنة لمصادر وطرق اشتقاق البيانات المورفومترية

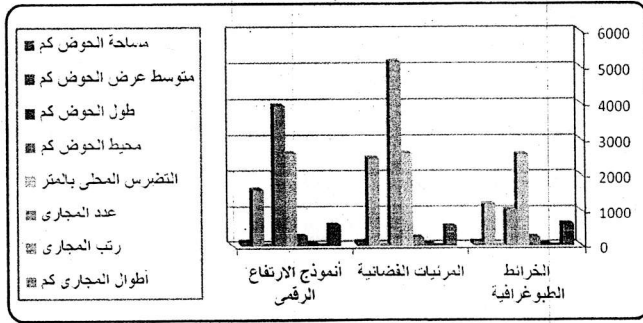
١٨٩

المجاري وفق تعرجاتها الحقيقية وهذا ما يبرر ارتفاع قيمة طول المجرى الأفقى من كلا المصدرين بالمقارنة بقيمته المستخرجة من أنموذج الارتفاع الرقعى التى أظهرت إنخفاضاً نظراً لاستقامة مجارى التصريف مما يقلل من طولها الحقيقى للمجرى الأفقى.

شكل (٩) تبين المعاملات المورفومترية لأحواض وشبكة التصريف باختلاف مصادر اشتقاقها

المصدر: الخريطة الطبوغرافية مقياس ١: ٥٠.٠٠٠، وأنموذج الارتفاع الرقعى، والمرئية الفضائية

من القمر الصناعى Landsat 7



الخصائص المورفومترية لأحواض وشبكات التصريف

د/أحمد زايد (٥)

دراسة مقارنة لصنادير وطرق اشتقاق البائات المورفومترية

أفضال سفيان (٥٥)

١٩٠

جدول (١) الخصائص المورفومترية المستنتجة لشبكة وحوض وادي نخلة وفقاً للمصادر المختلفة

الخريطة الطبوغرافية									
طول المجرى	أطوال المجارى كم	رتب المجارى	عدد المجارى	التضرس المطى بالمتر	محيط الحوض كم	طول الحوض	متوسط عرض الحوض كم	مساحة الحوض	مسطح الحوض
١٢٢,٩	١٢٠٣,١	٦	١٠٣٤	٢٦٠٠	٢٤٤,٨	٨٢,١٥	٧,٥٨	٦٢٢,٣	٦٢٢,٣
المريئة الفضائية									
طول المجرى	أطوال المجارى كم	رتب المجارى	عدد المجارى	التضرس المطى بالمتر	محيط الحوض كم	طول الحوض	متوسط عرض الحوض كم	مساحة الحوض	مسطح الحوض
١٢٤,٩	٢٤٨٧,٢	٧	٥١٧٤	٢٦٢٦	٢٣٦	٨٤,٣	٦,٩	٥٥٧	٥٥٧
نموذج الارتفاع الرقمي									
طول المجرى	أطوال المجارى كم	رتب المجارى	عدد المجارى	التضرس المطى بالمتر	محيط الحوض كم	طول الحوض	متوسط عرض الحوض كم	مساحة الحوض	مسطح الحوض
١٢٠,٣	١٦٠٨,٢	٦	٣٩٦١	٢٦٦٦	١٧٤,٤	٨٤,٣	٧,٢٩	٥٨٧,٣	٥٨٧,٣

المصدر: الخريطة الطبوغرافية مقياس 1:٥٠,٠٠٠، ونموذج الارتفاع الرقمي، والمريئة الفضائية من القمر الصناعي Landsat 7

د/أحمد زايد (٥)

أ/فضال سفيان (٥٥)

المحاضن المورفومترية لأحواض وشبكات التصريف

دراسة مقارنة لمصادر وطرق اشتقاق البيانات المورفومترية



جدول (٢) رتب وأعداد المجارى لشبكة تصريف حوض وادي نخلة تبعاً للمصادر المختلفة

الاجمالي	السابعة		السادسة		الخامسة		الرابعة		الثالثة		الثانية		الأولى		الرتبة
	عدد	طول/كم	عدد	طول/كم	عدد	طول/كم	عدد	طول/كم	عدد	طول/كم	عدد	طول/كم	عدد	طول/كم	
١٢٠٣١	١٠٣٤	---	٤٥٧	١	٧٢٧	٢	٤٠٢	٧	١٢١٦	٣٩	٢١٤٦	١٨٨	٧٠٨٣	٧٩٧	الخرائط الطوبوغرافية
٢٤٨٧٢	٥١٧٤	٤٦	٤٩١	٢	٣٠٥	٦	١٢٣١	٣٠	١٨٣	١٤٨	٤١١	٧٢٥	١٦٤٤٥	٤٢٦٢	العربية القضائية
١٦٠٨٢	٣٩٦١	---	٩٢٦	١	٣٩٢	٦	٩٩٨	٣٠	١٩١٩	١٤٨	٣٦٥٨	٦٩٢	٨١٨٩	٣٠٨٤	أمودج الارتفاع الرقم

المصدر: الخريطة الطوبوغرافية مقياس ١:٥٠٠٠٠، وأمودج الارتفاع الرقمي، والمربطة القضائية من القمر الصناعي Landsat 7

ثالثاً: نتائج الدراسة

١- يُسهم أنموذج الارتفاع الرقمي في تحرير شبكة التصريف المائي خاصة فى المناطق قليلة الانحدار، والمجارى المائية التى طُمرت بعضها فى نهاياتها بالرواسب، ويصبح الاعتماد عليه فى اشتقاق باقى المساحة الحوضية وما يجرى بها من مجارى مائية أمر محفوف بانخفاض الدقة المطلوبة وموثوقية البيانات المشتقة منه. وهذا لا يعنى بالضرورة انخفاض قيمة أنموذج الارتفاع الرقمي فى الدراسات الجغرافية بصفة عامة والطبيعية منها بصفة خاصة، ولكن حقق هذا الأنموذج تقدماً ملحوظاً فى تفسير تضاريس سطح الأرض بصورة أكبر من بقية المصادر الأخرى، لما يمتلك من إمكانات تجعله يُظهر تضاريس سطح الأرض ثلاثية الأبعاد؛ الأمر الذى يساعد على عملية الإدراك البصري، وتكوين صورة عامة وشاملة عن الأقسام التضاريسية التى تتكون منها المنطقة.

٢- تُساعد الخرائط الطبوغرافية فى تحديد حدود أحواض التصريف النهري بشكل أكثر دقة من مصادر أخرى، وذلك بالاستعانة بخطوط الكنتور التى تمثل أداة مساعدة فى تحديد خطوط تقسيم المياه بين أحواض التصريف المتجاورة.

٣- تُسهم المرئيات الفضائية، خاصة ذات الدقة التمييزية المكانية الكبيرة فى تحرير شبكات التصريف المائي بأعدادها وأطوالها وأشكالها الحقيقية، حيث تمثل المرئية الفضائية صورة لكافة تفاصيل سطح الأرض وقت التقاطها بواسطة القمر الصناعى، ولا تمر بأى معالجات من شأنها إحداث إزاحة أو تعميم، بل كل ما يجرى عليها من معالجات من شأنها أن تُعطى تفسيراً أوضح لتفاصيل سطح الأرض، وذلك على النقيض من الخرائط الطبوغرافية التى يجرى عليها كثير من عمليات الإزاحة والتعميم والحذف والتجريد.

٤- يصعب اشتقاق أي بيانات مورفومترية موثوق فى صحتها دون الاستعانة بالمصادر الثلاثة معا لاشتقاق البيانات؛ لما يميز كل مصدر من هذه المصادر

من مميزات ينفرد بها وتميزه عن المصادر الأخرى، فلا بد أن يُعتمد على الخرائط الطبوغرافية في ترسيم حدود تقسيم المياه والمجاري الرئيسية والفرعية خاصة التي تصب في المجرى الرئيس؛ ومرد ذلك إلى احتمالية حدوث جريان مائي كبير في تلك المجاري أثناء التصوير الفضائي لها، وبالتالي يصعب اشتقاقها من المصادر الفضائية، بينما يُعتمد على المرئيات في تحرير المجاري المائية القصيرة، والتي لا تُظهرها الخريطة الطبوغرافية وهذه ميزة للمرئيات الفضائية. وأخيراً يتم الاعتماد على أنموذج الارتفاع الرقمي في المناطق شبه المستوية بشكل أساسي والمناطق المتخرسة بشكل استثنائي؛ بسبب انخفاض دقة البيانات، وعدم دقة مسارات وأطوال المجاري المستخرجة منها.

المراجع والمصادر

- (١) إبراهيم ناجى الشباني، (٢٠٠٧) استخدام نماذج الارتفاع الرقمية لإنتاج خريطة الارتفاعات المتساوية لمدينة الديوانية بواسطة برنامج Global mapper7، مجلة القادسية فى الآداب والعلوم التربوية، العدد ٣-٤، ص ص ١٦٦-١٧٧.
- (٢) أحمد زايد عبد الله (٢٠٠٦) المخاطر الجيومورفولوجية بمراكز العمران الرئيسة على ساحل البحر الأحمر فى مصر، دراسة فى الجيومورفولوجيا التطبيقية، رسالة ماجستير غير منشورة، كلية الآداب، جامعة القاهرة.
- (٣) أحمد زايد عبد الله، (٢٠١٤) أخطار السيول بين الواقع والنظرية - نحو نموذج معدل لحساب درجات الخطورة، المؤتمر السنوى الدولى، معهد البحوث والدراسات الأفريقية، المجلد الأول، ص ص ٥٤٧-٥٩٢
- (٤) تامر يوسف عمرو (٢٠٠١): "جيمورفولوجية أحواض التصريف النهري والنطاق الساحلى للبحر الأحمر فيما بين رأس العش ومصب وادى ملاح"، رسالة ماجستير غير منشورة، كلية الآداب، جامعة القاهرة.
- (٥) حنان عبداللطيف الغيلان، (بدون تاريخ) توظيف تقنية نظم المعلومات الجغرافية فى بناء قاعدة بيانات جغرافية ذات متغيرات مورفومترية لأحواض الأودية الجافة، متاح على الرابط <http://www.saudigis.org>
- (٦) سعد سعيد الغامدى، (٢٠٠٦) توظيف نظم المعلومات الجغرافية فى استخراج بعض القياسات المورفومترية من نماذج الارتفاعات الرقمية، دراسة حالة وادى ذرى فى المملكة العربية السعودية، مجلة الجمعية الجغرافية الكويتية، العدد ٣١٣.
- (٧) شبكة المعلومات الدولية، موقع هيئة المساحة الأمريكية www.gioves.com
- (٨) طاهر عبدالرحيم إبراهيم السباعى (٢٠٠٦): "الأخطار الجيومورفولوجية بالساحل الشمالى شبه جزيرة سيناء"، رسالة ماجستير غير منشورة، كلية الآداب، جامعة المنوفية.
- (٩) عاهد ذنون الحمamy، ابراهيم أنور، (٢٠١٠) توظيف وسائل الاستشعار عن بعد فى دراسة طبوغرافية بحيرة سد الموصل، مجلة التربية والعلم، كلية التربية، جامعة الموصل، المجلد ١٧، العدد ٢، ص ص ١-١٤.

الخصائص المورفومترية لأحواض وشبكات التصريف

دراسة مقارنة لمصادر وطرق اشتقاق البيانات المورفومترية

- ١٠) عبدالمجيد أحمد مداغش (٢٠١٠)، مقارنة تحديد شبكات التصريف المائي لأحواض الأودية بالوسائل التقليدية مع وسائل تحليل نماذج الارتفاع الرقمية- نموذج حوض صعدة، المؤتمر الرابع للجغرافيين اليمنيين، جامعة صنعاء، كلية الآداب والعلوم الانسانية بالتعاون مع الجمعية الجغرافية اليمنية خلال الفترة من ٢٧-٢٩ ديسمبر ٢٠١٠.
- ١١) عبدالمحسن صالح العمرى، (٢٠١١) تحليل الخصائص المورفومترية والهيدرولوجية لأحواض التصريف فى منطقة كريتر عدن باستخدام معطيات نظم المعلومات الجغرافية (GIS)، ندوة عدن بوابة الحضارة، جامعة عدن، الفترة ١٨-١٩ يناير ٢٠١١.
- ١٢) علاء نبيل حمدون، حكمت صبحى الدغشاني، (بدون تاريخ) تحليل الخصائص المورفومترية لأحواض التصريف فى منطقة دهوك شمال العراق باستخدام معطيات الاستشعار عن بعد، مركز التحسن النائي، جامعة الموصل، متاح على الرابط www.4geography.com.
- ١٣) على عبد عباس العزاوى (٢٠٠٩) تمثيل النماذج المفتوحة فى أنظمة المعلومات الجغرافية، (GIS) دراسة تطبيقية على حوض مائى شمال العراق، مجلة جامعة كركوك للدراسات الانسانية، العدد ٢، المجلد ٤، ص ص ٩٧-١١٣.
- ١٤) صباح حسين على، (٢٠٠٦) استخدام نظم المعلومات الجغرافية فى إنشاء وتمثيل بيانات نموذج الارتفاع الرقمي لنماذج مختارة من شمال العراق، مجلة التربية والعلم، المجلد ١٣، العدد ٢، ص ص ٤١-٥٦.
- ١٥) مبارك بن محمد بن ناصر، (٢٠٠٤) إنتاج الخرائط الطبوغرافية من ملفات المسح الجوي مباشرة باستخدام نظم المعلومات الجغرافية، رسالة ماجستير غير منشورة، قسم الجغرافيا، كلية الآداب، جامعة الملك سعود.
- ١٦) محمد بن عبدالله الصالح، (١٩٩٩) استخدام صور الماسح الموضوعى المحسنة والخرائط الطبوغرافية للتحليل المورفومتري لوادى عنان ووادى مزيرعة بوسط المملكة العربية السعودية، مجلة جامعة الملك سعود، مجلد ١١، عدد ٢، ص ص ٢٨٧-٣٠٤.
- ١٧) محمد صبرى محسوب، (١٩٩٧) جيومورفولوجية الأشكال الأرضية، دار الفكر العربي، الطبعة الخامسة، القاهرة.
- ١٨) محمد عبدالمعتمد عبدالرسول (٢٠٠٦): "الأخطار الجيومورفولوجية بالجانب الغربى لوادى النيل

جامعة أسيوط.

١٩) مصلحة المساحة والسجل العقاري (١٩٨٢)، الجمهورية اليمنية، صنعاء، الخرائط الطبوغرافية مقياس ١: ٥٠.٠٠٠، طبعت بمديرية المساحة لما وراء البحار، المملكة المتحدة.

٢٠) نضال محمد سفيان (٢٠١٤)، جيومورفولوجية حوض وادي نخلة في محافظة تعز بالجمهورية اليمنية، رسالة ماجستير غير منشورة، قسم الجغرافيا، كلية الآداب- جامعة الملك سعود.

٢١) هالة محمد سعيد، وآخرون (٢٠١٠) أهمية دراسة أنموذج الارتفاع الرقمي DEM وتطبيقاته المختلفة، مجلة ديبالى، العدد الثالث والأربعون، ص ص ١٧٥-١٨٩.

٢٢) _____، (بدون تاريخ) الدور الجيومورفولوجي في تصنيف وتقسيم الأراضي في منطقة جنوب شرق محافظة أربيل، مجلة الآداب، العدد ١٠٧، ص ص ٢٤١-٢٥٦. متاح على الرابط

<http://www.iasj.net>

٢٣) وسام الدين محمد، (٢٠٠٨) أساسيات نظم المعلومات الجغرافية متاح على الرابط www.4geography.com

٢٤) يحيى محمود سعيد أبو حصيرة، (٢٠١٤) مقدمة في التحليل الهيدرولوجي (Arc Hydro 2.0) بالاعتماد على أنموذج الارتفاع الرقمي (DEM) متاح على الرابط

<http://site.iugaza.edu.ps>

٢٥) _____، (٢٠١٣) تطبيق نظم المعلومات الجغرافية في دراسة الخصائص المورفومترية لحوض نهر العوجاء-فلسطين، رسالة ماجستير غير منشورة، قسم الجغرافيا، كلية الآداب، الجامعة الإسلامية، غزة.

26) Qannam.Z(2003): "A Hydrogeological, Hydrochemical And Environmental Study In Wadi Al Arroub Drainage Basin, South West Bank, Palestine".

(Unpublished) Ph.D, Bergakademie Freiberg Technische Universität

27) Simon .W.u, Jonathan. L.i,& Huang. G.H (2008): "A Study on DEM-Derived primary Topographic Attributes for Hydrologic Applications: Sensitivity to Elevation Data Resolution", Applied Geography, 28, pp.210-23.

28) Strahler,A. N. (1952): "Hypsometric (Area - Altitude) analysis of erosional Topography". Bull . Geol. Soc. Amer., Vol. 63.

د/أحمد زايد^(٥)

أ/فضال سفيان^(٥٥)

الخصائص المورفومترية لأحواض وشبكات التصريف
دراسة مقارنة لمصادر وطرق اشتقاق البيانات المورفومترية

١٩٧

الحواشي

(١) لما كانت الخرائط الطبوغرافية تمر فى إحدى مراحل إنتاجها بالصور الجوية لاخذ البيانات الجغرافية حول المعالم المختلفة (مبارك بن محمد بن ناصر، ٢٠٠٤، ص ٤)؛ فقد اقتصر البحث هنا على إجراء دراسة مقارنة بين ثلاثة مصادر هي: الخرائط الطبوغرافية، وأنموذج الارتفاع الرقمي، والمرئيات الفضائية.

(٢) نموذج الارتفاع الرقمي: هو عبارة عن تمثيل رقمي للتضاريس الأرضية متباينة الارتفاع، وهو المخرجات الأساسية لنظام المعلومات الجغرافية التى تعطى الفرصة للتمثيل الرقمي الثلاثي الأبعاد، والخاص بالارتفاعات باستخدام المتغيرات (X, Y, Z) التى يمثل فيها (X, Y) الاحداثيات الأفقية بينما يمثل (Z) الإحداثي العمودي (ارتفاع) على عبد عباس، وآخرون ٢٠٠٦، ص ٤٧).

(٣) فعلى الرغم من انخفاض الدقة المكانية للمرئيات الفضائية للقمر الصناعى لاند سات إلا أنه يمكن رفع هذه الدقة إلى ١٤ متراً، وذلك من خلال إجراء بعض المعالجات مثل: دمج الباند الثامن ذو الدقة المكانية ١٤ متراً؛ بالإضافة إلى تطبيق معالجة **Resolution Merge** التى تقوم بتقسيم الخلية إلى أربعة خلايا بحيث تصبح الصورة الفضائية ذات دقة مكانية ١٤ متراً، وتهدف هذه الاجراءات إلى رفع الدقة المكانية للصورة الفضائية؛ نظرا لأهمية هذه الاجراءات فى تحليل الصورة الفضائية.

(٤) حيث تعد الدقة المكانية لنماذج الارتفاع الرقمي المتعارف عليها ٩٠ متراً، فعلى الرغم من أن هذه الدقة تعد مقبولة خاصة فى المساحات الواسعة إلا ان العمل على نطاق ضيق فعلى سبيل المثال دراسة حوض تصريف واحد يحتاج إلى دقة مكانية أعلى تصل إلى ٣٠ متراً أو أقل، وهو ما لم يتوافر بسهولة لبعض المناطق.

(٥) تنتج الخريطة الطبوغرافية عبر مجموعة من المراحل الكارتوجرافية، تبدأ بإنتاج البيانات الموضوعية التى تتكون من قسمين هما بيانات المسوحات الجوية؛ بهدف اشتقاق ملف مبدئي لإنتاج الخريطة يُعرف بملف التصوير الجوى. أما القسم الثانى فيختص بإنتاج ملف التحقق الحقلى حيث تظهر به كافة التفاصيل غير الواضحة فى ملف التصوير

أساس إنتاج الخريطة الطبوغرافية. ويمر إنتاج الخريطة الطبوغرافية بمرحلة أخيرة تعرف بمرحلة الطباعة الكارتوجرافية حيث يتم إنتاج ملف جديد بالاستعانة بالبيانات الموضوعية، حيث جرى مصمم الخريطة كثير من التعديلات تشمل الحذف والتعميم والتبسيط والازاحة على البيانات الموضوعية بغية الوصول إلى المواصفات المحددة لإنتاج خريطة واضحة المعالم مجال الاهتمام تتوافق ومقياس الرسم المحدد لها. (مبارك بن محمد بن ناصر، ٢٠٠٤، ص ٢٧-٢٩)؛ لذلك فقد لا تظهر بعض شبكات التصريف الدقيقة حتى لا تحدث تزاخم داخل الخريطة ويكتفى بإظهار شبكات التصريف الرئيسة، وجانباً من الروافد الفرعية.

(٦) يذهب بعض الباحثين لقياس عرض الحوض على مسافات متساوية، ثم يقوم بتجميع هذه القياسات وقسمتها على عدد القياسات، بينما يذهب البعض الآخر إلى قياس عرض الحوض ثلاث مرات، بحيث يمثل أكبر وأدنى عرض وأخرى تعبر عن منطقة وسطى، ثم تجميع هذه القياسات وقسمتها على عددهم.